

Динамика решетки BiFeO_3 под гидростатическим давлением

© В.И. Зиненко, М.С. Павловский

Институт физики им. Л.В. Киренского Сибирского отделения Российской академии наук,
Красноярск, Россия

E-mail: zvi@iph.krasn.ru

В рамках неэмпирической модели ионного кристалла с учетом дипольной и квадрупольной поляризуемостей ионов вычислены значения частот колебаний кристаллической решетки BiFeO_3 в кубической фазе ($R\bar{3}m$) и ромбоэдрической парафазе ($R3c$). В сегнетоэлектрической фазе с симметрией $R3c$ вычисленное значение спонтанной поляризации $136 \mu\text{C} \cdot \text{cm}^{-2}$ хорошо согласуется с экспериментальными данными. Рассчитаны зависимости от давления объема элементарной ячейки, модулей упругости и частот колебаний. Получено, что частота неустойчивой сегнетоэлектрической моды как в кубической ($R\bar{3}m$), так и в ромбоэдрической ($R3c$) фазе практически не зависит от приложенного давления в отличие от классических сегнетоэлектриков со структурой перовскита, где сегнетоэлектрическая неустойчивость очень чувствительна к изменению давления.

Работа поддержана грантом РФФИ № 06-02-016091 и грантом Президента РФ „Ведущие научные школы“ НШ-1011.2008.2.

PACS: 63.20.-e, 62.50.-p

В последнее время большое внимание уделяется изучению мультиферроиков — соединений с существованием магнитного, сегнетоэлектрического и (или) сегнетоэластического порядка. К таким соединениям относится феррит висмута BiFeO_3 , имеющий перовскитоподобную структуру.

Как известно из экспериментальных данных, для BiFeO_3 температура сегнетоэлектрического фазового перехода T_c составляет около 1100 К, а антиферромагнитного фазового перехода T_N — около 640 К [1]. Выше T_c кристалл принадлежит к ромбоэдрической сингонии с пространственной группой симметрии $R3c$, где его структура является искаженной формой идеальной структуры перовскита, и искажения связаны с „поворотом“ октаэдра FeO_6 вокруг пространственной диагонали кубической перовскитной ячейки. В сегнетоэлектрической фазе с симметрией $R3c$ возникают дополнительные

искажения, связанные со смещениями ионов висмута, железа и кислорода.

В настоящей работе приводятся результаты неэмпирических расчетов частот колебаний кристаллической решетки, динамических зарядов Борна, упругих постоянных и их зависимостей от внешнего гидростатического давления для кристалла феррита висмута. Расчет проведен в рамках модели ионного кристалла с учетом дипольной и квадрупольной поляризуемостей ионов. Подробное описание метода расчета приведено в обзоре [2].

Для кубической фазы кристалла BiFeO_3 вычислены равновесный параметр решетки, динамические заряды атомов, диэлектрическая проницаемость и модули упругости (табл. 1), а также полный фононный спектр (рис. 1). Наличие мнимых мод по всей зоне Бриллюэна и их большие абсолютные величины свидетельствуют о сильной нестабильности кубической фазы исследуемого

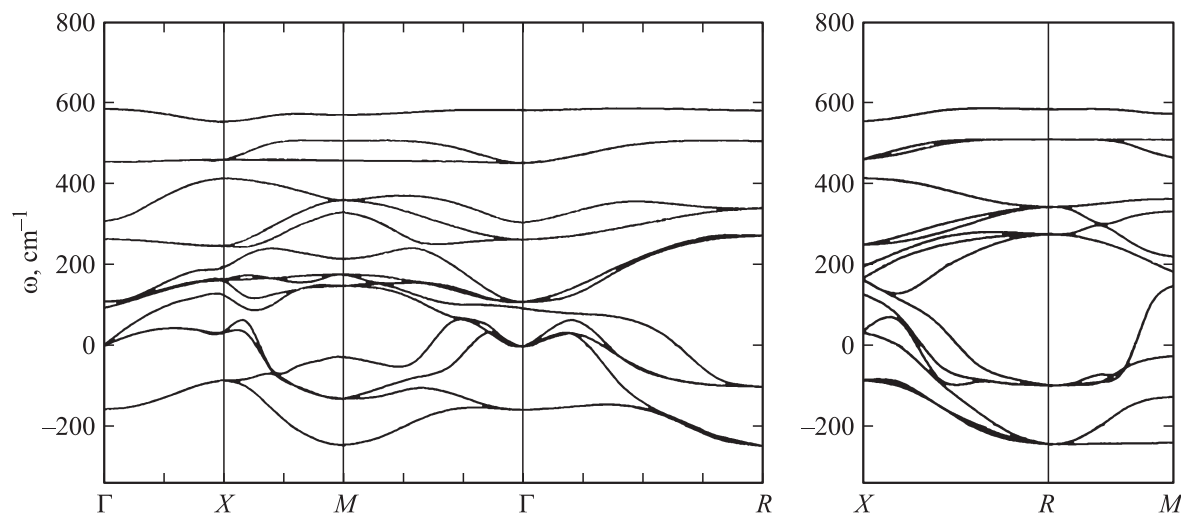


Рис. 1. Фононный спектр кристалла BiFeO_3 в кубической фазе, мнимые частоты представлены отрицательными значениями.

Таблица 1. Динамические заряды атомов и модули упругости кристалла BiFeO_3 в кубической фазе (параметр решетки $a_0 = 3.96 \text{ \AA}$, диэлектрическая проницаемость $\epsilon_\infty = 6.892$)

Атом	Z_{din}
Bi	4.644
Fe	5.735
O_{\parallel}	-5.088
O_{\perp}	-2.646
Модули упругости, GPa	
C_{11}	249.9
C_{12}	71.0
C_{44}	71.9

Таблица 2. Компонента x собственного вектора нестабильной трехкратной сегнетоэлектрической моды Γ_{1u} ($y = z = 0$)

Атом	x
Bi	0.7565
Fe	0.1537
O_{\parallel}	-0.0114
O_{\perp}	-0.4494

Таблица 3. Параметры решетки и относительные координаты атомов кристалла BiFeO_3 в ромбоэдрической фазе с пространственной группой симметрии $R3c$

	Расчет	
	Наст. раб.	[3]
$a_0, \text{ \AA}$	5.60	5.513
$\alpha, ^\circ$	60	61.432
	Bi: $2b[x, x, x]$	
x	1/4	1/4
	Fe: $2a[x, x, x]$	
x	0	0
	O: $6b[x, y, z]$	
x	-0.330	0.3358
y	-0.170	0.1641
z	1/4	1/4

соединения. Нестабильная трехкратно вырожденная мода Γ_{1u} в центре зоны Бриллюэна с частотой $157i \text{ cm}^{-1}$ является полярной сегнетоэлектрической модой. Собственный вектор одной компоненты этой моды приведен в табл. 2. На рис. 2 представлен график вычисленной зависимости изменения полной энергии кристалла от амплитуды смещения атомов по собственным векторам нестабильной полярной моды вдоль направлений кристалла [100], [110], [111]. Как видно из этого графика, энергетически наиболее выгодным является

искажение исходной кубической ячейки, связанное со смещением атомов по собственному вектору вдоль направления [111]. Вычисленное значение спонтанной поляризации для такой искаженной структуры составило $109.54 \mu\text{C} \cdot \text{cm}^{-2}$.

Однако наиболее нестабильной модой в кубической фазе BiFeO_3 является трехкратно вырожденная мода R_{25} граничной точки R зоны Бриллюэна, равная $247i \text{ cm}^{-1}$. Собственный вектор этой моды соответствует „повороту“ октаэдра FeO_6 . На рис. 3 приведена зависимость изменения полной энергии кристалла от одной, двух и трех компонент однородных смещений в локальной моде R_{25} , соответствующих „поворотам“ кислородного октаэдра вокруг осей куба [100], [110], [111]. Как видно из этого графика, наиболее выгодным является „поворот“ вокруг оси куба [111]. Искривление решетки с помощью „поворота“ кислородного октаэдра вокруг

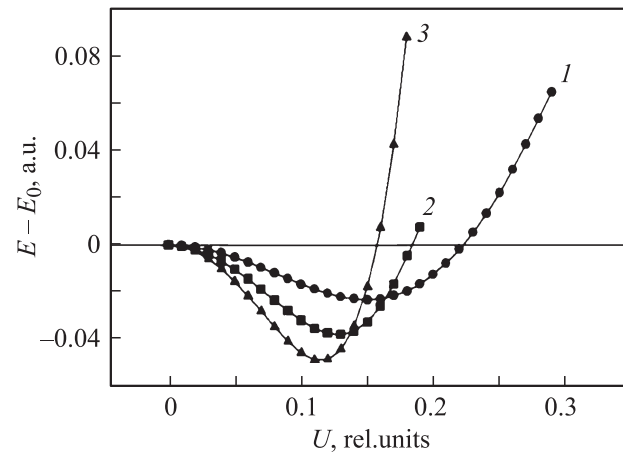


Рис. 2. Зависимость изменения полной энергии кристалла от амплитуды смещения атомов по собственным векторам нестабильной полярной моды вдоль различных направлений кристалла 1 — [100], 2 — [110], 3 — [111].

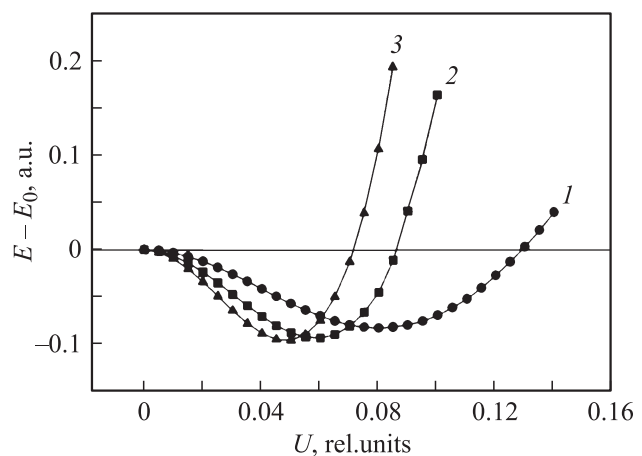


Рис. 3. Зависимость изменения полной энергии кристалла от одной (1), двух (2) и трех (3) компонент однородных смещений в локальной моде R_{25} .

Таблица 4. Частота колебаний кристаллической решетки кристалла BiFeO_3 в ромбоэдрической фазе с пространственной группой симметрии $R3c$

Мода	Частота, cm^{-1}
A_{1g}	198
A_{2g}	65j 270 552
E_g	117i 88 276 437
A_{1u}	254 314
A_{2u}	90i 273 385
E_u	60i 161 262 312 395

Таблица 5. Параметры решетки и относительные координаты атомов кристалла BiFeO_3 в полярной ромбоэдрической фазе с пространственной группой симметрии $R3c$

	Расчет (наст. раб.)	Эксперимент [1]	Расчет [2]
$a_0, \text{\AA}$	5.60	5.63	5.697
$\alpha, ^\circ$	60	59.35	59.235
$\text{Bi}: 2b[x, x, x]$			
x	0	0	0
$\text{Fe}: 2a[x, x, x]$			
x	0.227	0.221	0.2232
$\text{O}: 6b[x, y, z]$			
x	0.546	0.538	0.5342
y	0.951	0.933	0.9357
z	0.386	0.395	0.3865

оси $[111]$ куба со смещениями атомов, соответствующими минимуму энергии, позволило получить ромбоэдрическую фазу с пространственной группой симметрии $R3c$. Относительные координаты атомов приведены в табл. 3, там же приведены координаты атомов, вычисленные в работе других авторов [3]. Дальнейший расчет динамики решетки кристалла BiFeO_3 в этой фазе показал наличие нестабильных полярных сегнетоэлектрических мод A_{2u} и двукратной E_u (табл. 4), на которые расщепилась нестабильная трехкратная мода Γ_{1u} исходной кубической фазы. Собственный вектор моды A_{2u}

соответствует смещениям атомов параллельно оси третьего порядка ромбоэдрической ячейки, атомы висмута и железа двигаются в одном направлении, а атомы кислорода — в противоположном. В полярной моде E_u атомы движутся аналогичным образом в плоскости, перпендикулярной оси третьего порядка. Вычисленная зависимость полной энергии кристалла от амплитуды смещения атомов по собственному вектору нестабильной сегнетоэлектрической моды A_{2u} приведена на рис. 4. Таким образом, чтобы получить низкотемпературную сегнетоэлектрическую ромбоэдрическую фазу с пространственной группой симметрии $R3c$, решетка была искажена путем смещения атомов по собственному вектору моды A_{2u} на величину, соответствующую минимуму полной энергии. Полученные относительные координаты атомов для этой фазы приведены в табл. 5, там же для сравнения представлены экспериментальные данные [4], а также результаты расчета других авторов [3]. Как видно, характер искажения и его величина находятся в удовлетворительном согласии с экспериментом. Последующий расчет динамики решетки кристалла BiFeO_3 в этой фазе показал отсутствие мнимых мод во всей зоне Бриллюэна, что свидетельствует о стабильности данной фазы. Для исследуемого соединения в $R3c$ фазе была вычислена величина спонтанной поляризации, которая составила $136.42 \mu\text{C} \cdot \text{cm}^{-2}$, в то время как расчет других авторов [5] показал спонтанную поляризацию, равную $101.2 \mu\text{C} \cdot \text{cm}^{-2}$, а по экспериментальным данным для поликристаллической пленки толщиной 300 nm [6], величина спонтанной поляризации составила $158 \mu\text{C} \cdot \text{cm}^{-2}$.

Как уже было показано нами в работе [7], сегнетоэлектрическая нестабильность в кубической фазе феррита висмута практически не зависит от приложенного гидростатического давления (рис. 5). В той же работе было показано, что ромбоэдрическая высокотемпературная фаза с пространственной группой симметрии $R3c$ содержит сегнетоэлектрическую нестабильную моду A_{2u} ,

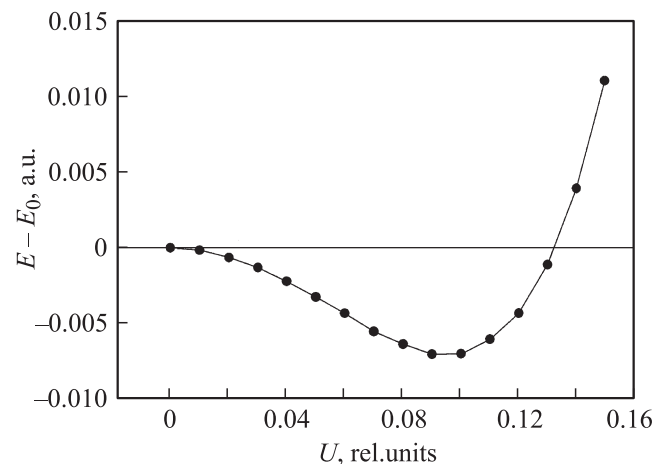


Рис. 4. Зависимость полной энергии кристалла от амплитуды смещения атомов по собственному вектору нестабильной сегнетоэлектрической моды A_{2u} .

также практически не зависящую от величины приложенного давления, а в ромбической фазе с группой симметрии $Pnma$, теоретически предсказанной в работе [3], существуют слабо зависящие от приложенного давления мнимые полярные моды B_{1u} , B_{2u} и B_{3u} , сохраняющие большие абсолютные величины вплоть до давлений порядка 80 ГПа (рис. 5). Для кристалла BiFeO_3 в низкотемпературной полярной фазе с пространственной группой симметрии $R3c$ была вычислена зависимость объема элементарной ячейки от величины приложенного давления (рис. 6, здесь же приведены экспериментальные данные работы [10]). Также была рассчитана зависимость модулей упругости и модуля всестороннего

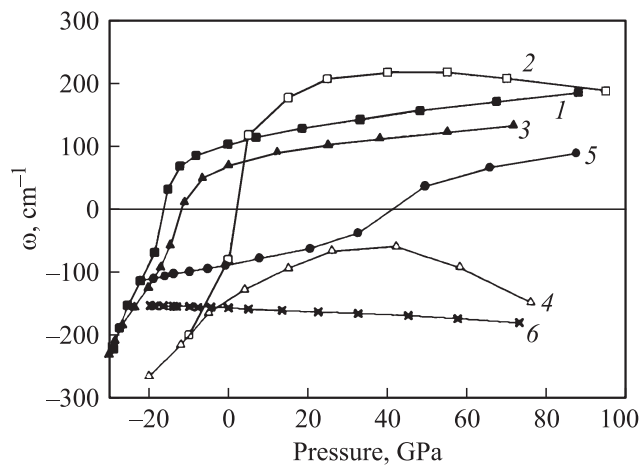


Рис. 5. Зависимость частоты сегнетоэлектрической моды (мнимые частоты представлены отрицательными значениями) от гидростатического давления кубической фазы кристаллов. 1 — BaTiO_3 (2 — расчет [8]), 3 — PbTiO_3 (4 — расчет [9]), 5 — BiAlO_3 , 6 — BiFeO_3 .

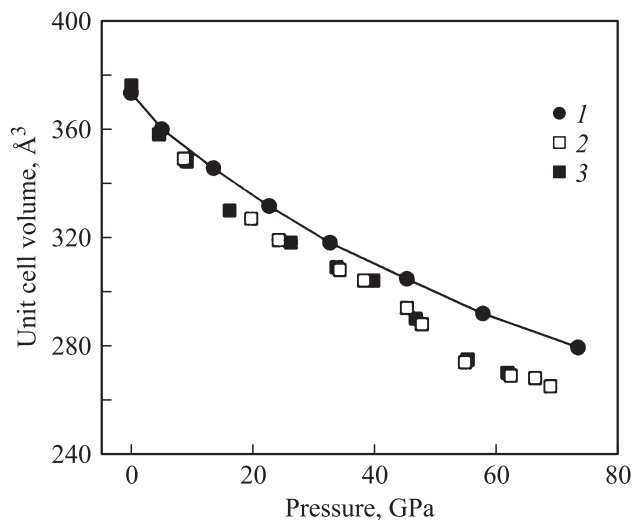


Рис. 6. Зависимость от давления объема элементарной ячейки полярной ромбоэдрической фазы BiFeO_3 . 1 — наш расчет, 2 — эксперимент [10] (повышение давления), 3 — эксперимента [10] (снижение давления).

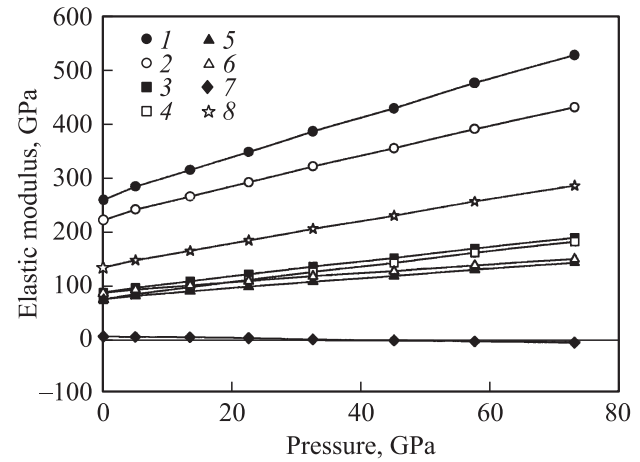


Рис. 7. Зависимость модулей упругости и модуля всестороннего сжатия от давления для кристалла BiFeO_3 в полярной ромбоэдрической фазе ($R3c$). 1 — C_{11} , 2 — C_{33} , 3 — C_{12} , 4 — C_{13} , 5 — C_{44} , 6 — C_{66} , 7 — C_{14} , 8 — модуль всестороннего сжатия.

сжатия от гидростатического давления для полярной фазы исследуемого соединения (рис. 7). По имеющимся экспериментальным данным [10] величина модуля всестороннего сжатия составила 75.5 ± 15.5 ГПа в области давлений 0–40 ГПа и 292 ± 9 ГПа в области давлений 54–70 ГПа, а в настоящем расчете были получены значения 133 ГПа при нулевом давлении и 286 ГПа при давлении 73 ГПа. Как видно, полученные результаты для сегнетоэлектрической фазы кристалла феррита висмута находятся в удовлетворительном согласии с имеющимися экспериментальными данными.

В настоящей работе в рамках неэмпирического расчета вычислены частоты колебаний кристалла феррита висмута в кубической и ромбоэдрической фазах. Получено, что кубическая фаза данного соединения неустойчива по отношению к модам колебаний решетки, занимающим все фазовое пространство в зоне Бриллюэна. В результате расчета частот колебаний для ромбоэдрической парафазы с пространственной группой симметрии $R3c$ установлено, что в данной фазе присутствуют устойчивые сегнетоэлектрические моды. Получены координаты атомов стабильной сегнетоэлектрической фазы с пространственной группой симметрии $R3c$. Вычисленные параметры элементарной ячейки, координаты ионов, величина спонтанной поляризации, зависимости модуля всестороннего сжатия и объема элементарной ячейки от приложенного давления в сегнетоэлектрической ромбоэдрической фазе BiFeO_3 находятся в удовлетворительном согласии с экспериментальными данными. Таким образом, можно сказать, что используемая в настоящей работе неэмпирическая модель ионного кристалла, учитывающая дипольную и квадрупольную поляризуемость ионов, достаточно корректно описывают структурные свойства и динамику решетки кристалла BiFeO_3 .

Список литературы

- [1] Г.А. Смоленский, В. Юдин, Е. Шер. ЖЭТФ **43**, 877 (1962).
- [2] Е.Г. Максимов, В.И. Зиненко, Н.Г. Замкова. УФН **174**, 11, 1145 (2004).
- [3] P. Ravindran, R. Vidya, A. Kjekshus, H. Fjellvag, O. Eriksson. Phys. Rev. B **74**, 224 412 (2006).
- [4] F. Kubel, H. Schmid. Acta Cryst. B: Struct. Sci. **46**, 698 (1990).
- [5] J.B. Neaton, C. Ederer, U.V. Waghmare, N.A. Spaldin, K.M. Rabe. Phys. Rev. B **71**, 014 113 (2005).
- [6] K.Y. Yun, D. Ricinski, M. Okuyama. Jpn. J. Appl. Phys. (Pt 2) **43**, L 647 (2004).
- [7] В.И. Зиненко, М.С. Павловский. Письма в ЖЭТФ **87**, 338 (2008).
- [8] E. Bousquet, P. Ghosez. Phys. Rev. B **74**, 180 101(R) (2006).
- [9] I.A. Kornev, L. Bellaiche. Phase. Trans. **80**, 385 (2007).
- [10] А.Г. Гаврилюк, В.В. Стружкин, И.С. Любутин, И.А. Троян. Письма в ЖЭТФ **86**, 226 (2007).